

Li - Ba



И 2484

1953

LiF. BaF₂; BaF₂; BaCl₂(T_m)

Бергштадт А.А., Банашек С.И.,
Чуб. Сектора физ.-хим. институ-
та (Ин-т общ. и неорг. химии
им. Курчатова), 1953, 23,

201-221

6 110 .. Ф. И.

Р.Х., 1951, № 27381

1958

Keller D.V., Kanda F. A., King A. J.,

Ba - Li

J. Ph. Ch., 1958, 62, 732

Pelnohectomy chick embryo - musc.

Li BaO

Gilles P. W.

1961

XVIIIth International Congress
of Pure and Applied Che-
mistry, Montreal, August
6-12, 1961. Abstracts, 42.

Ternary species at high tempe-
ratures.



(See: FBO, I)

$\text{Sr}_6\text{Li}_{23}$; $\text{BaLi}_2\text{LiAl}_3$, $\text{Li}_4\text{Al}_3\text{Li}_2\text{Al}_2$
 Li_5Al_2 , Li_2Al_2 . 3/1969
X-5630

Диксон Г.Г.

Труды козбунской промпогоди.
науч. рабоч."Мобил".
янв-м, 1964, 76.

Эдит Ф. Р.

Ред, 1965, 92223

М.1

$\text{Sr}_6\text{Mg}_{23}$, SrLi_4 , $\text{Ba}_6\text{Mg}_{23}$ 1965
 Ba Li_4 . (срече суп-па). IX-1781

Wang F.S., Kanda F.H.,
Miskell C.F., King A.J.,
Acta crystallogr.,
1965, 18, no 1, 24

III

P.M. 1965, 72138

X-6144
1967

CsF·MgF₂, CsF·MgF₂ (Tm)

CsF·SrF₂, LiF·BaF₂ (Tm, inc)

Бережансаз B.T., Бухаимова Г.А.

Дл. неопубл. листы, 1967, 12, № 8,
2179-2183.

РНКС, 1968,
45661.

б.
ест ори.

SrF₂ · SrCl₂; BaF₂ · BaCl₂; LiF · BaF₂ 1968

(ΔG_f)

g

EX 62 Df

Straten D., Flood H.

Kgl. Norske vid. Selskabs forhandl, 1968,

41, Nr. 16, 65-75 (ann.)

On some thermodynamic properties of solid double
compounds and molten mixtures in 2:1:2 systems

Ca⁺⁺-Li⁺-F⁻-Cl⁻; Sr⁺⁺-Li⁺-F⁻-Cl⁻ and Ba⁺⁺-
Li⁺-F⁻-Cl⁻. II. The Sr- and the Ba-systems

Publ. June 1969 6106

175603

E.C.M.C. H.

BaLiF₃, RaLiF₃ ($T_m^9, \Delta H_m, \Delta S_m$) 1968

IX 652

Буханова Г.А., Бересинская В.Т.

Респ. ССР РСФСР. Ученые Казахстана. Серия 4.

НЗУ 1968, № 2, 106-11

E. G. K.

Комплексное изучение

щелочевых и алюхалкогельных

магнитов

S A

CA, 1969, 70, № 10, 40800 n

1968

12 Б99. Тройные гидриды с кубической структурой типа перовскита. I. Нейтронографическое изучение BaLiH_3 и BaLiD_3 . Maeland A. J., Andresen A. F. Ternary hydrides possessing the cubic perovskite structure. I. A neutrondiffraction study of BaLiH_3 and BaLiD_3 . «J. Chem. Phys.», 1968, 48, № 10, 4660—4661 (англ.)

Проведено нейтронографич. исследование образцов BaLiH_3 и BaLiD_3 . Показано, что их структура соответствует обращенному перовскитному типу с положениями атомов, соотв-щими пространственной группе $Pm\bar{3}m$: $\text{Ba} (0, 0, 0)$; $\text{Li} (\frac{1}{2}, \frac{1}{2}, \frac{1}{2})$ и H или $\text{D} (\frac{1}{2}, \frac{1}{2}, 0, 0, \frac{1}{2}, 1, 2, 0, \frac{1}{2})$. SrLiH_3 и EuZrH_3 , по-видимому, изоструктурны. Параметр решетки для BaLiH_3 $4,023 \pm 0,001$ Å и немного меньше для BaLiD_3 . Общее поперечное сечение нейтронного рассеяния для водорода 30 ± 2 в cm^2 оказалось на много меньшим по сравнению с этой величиной для др. водородсодержащих соединений, но сравнимым с полученным для др. гидридов. Резюме

BaLiH₃Красив.
мир-ра

X·1969

12

CaMoO₄-LiCl, CaMoO₄-KCl,
CaMoO₄-RbCl, CaMoO₄-CsCl,
SrMoO₄-MCl, BaMoO₄-MCl. (T_m) 1969
 $M = \text{Li}, \text{K}, \text{Rb}, \text{Cs}.$

1969

10 g

IX 3026

Касимов А.В., Крылова А.И., Торичч
Нов И.А., 25

Пр. хим. хим. пехной, 1969, №3,
43-5 (русск.)

Распределение сингецов пришлесей
редкоземельных элементов в кро-
неле кристаллов зефирических
иодов Ce, Sr, Ba из расплавов хлоридов
Ca, 1971, 71, N8, 354272

5 (42)

$LiPO_3 \cdot 2Ca(PO_3)_2$; $LiPO_3 \cdot 2Sr(PO_3)_2$ 9 1970

$LiPO_3 \cdot 2Ba(PO_3)_2$ ($T_{m,ac}$) $\bar{X} 4703$ ~~2x946~~

Токмак 21. А., Бухаров Г. Я.

Ж. Неоргик. химия, 1970, 15, № 3, 884-883

Фазовые равновесия в гибридных системах
жемедисперсного синтеза с методом диффузии
щелочноземельных элементов

РНХУСИ, 1970

166775



7

Б (9)

$\text{LiOH}(\text{O}K_m)$; $\text{LiOH}\cdot\text{ZnO}(\text{OH})_2(\text{Tm})$ 1971

Michaud J., EBG R., Ado G. XS279

C. r. Acad. Sci., 1971, 272, N^o. 872-875 (pp. 23)

Установление динамики ассоциации
изопропилового ката - изопропилового борида

Pitt Rivers, 1971/Ado ④ 03 | 5 ④ 7

156679

I08I6.25I0

X, C

LiF·BaF₂ (Tm) | 1971

ОГДЗ

*Комплексообразование в четверной взаимной
системе Li, Na, Ba II F, Cf.*

Ворещагина В.И., Хардикова Е.Я.

"Изв. высш. учебн. заведений. Химия и хим.
технол.", 1971, I4, № 6, 844-846

0435 ПИК

ВИНИТИ

423

416 419

ZrF₄ BaF₂ (Ttr)

87380

1972

Верещагина В.Н., Гоктарь Е.В.,
Золотарёва Л.В.,

Жл. неорг. хим., 1972, 17, N 5, 1465-8
(русск.)

Система, состоящая из
фторидов церия, настрия,
кальция и бария.

5 (P)

СА, 1972, 77, N 12, 80124W

[Ba₈Nb₆ · Li₂O₂₄]

5 Б812. Кристаллохимия лития в структурах с октаэдрической координацией. I. Синтез Ba₈(M₆Li₂)O₂₄ (M=Nb или Ta) и Ba₁₀(W₆Li₄)O₃₀. II. Фаза типа тетрагональной бронзы в системе BaO—Nb₂O₅—Li₂O. Negash T., Roth R. S., Parker H. S., Brower W. S. Crystal chemistry of lithium in octahedrally coordinated structures. I. Synthesis of Ba₈(M₆Li₂)O₂₄ (M=Nb or Ta) and Ba₁₀(W₆Li₄)O₃₀. II. The tetragonal bronze phase in the system BaO—Nb₂O₅—Li₂O. «J. Solid State Chem.», 1973, 8, № 1, 1—13 (англ.)

1973

Кристаллохимия
лития в структурах с октаэдрической координацией.

Методом рентгенографич. анализа на поликристаллических образцах изучены кристаллографич. св-ва Ba₈Nb₆Li₂O₂₄ (I), Ba₈Ta₆Li₂O₂₄ (II) и Ba₁₀W₆Li₄O₃₀ (III). В кач-ве исходных материалов использованы высокочистые BaCO₃, Nb₂O₅, LiNbO₃, LiTaO₃, BaWO₄, Li₂WO₄ и WO₃. Поликристаллы I—III получены прокаливанием соотв-щих кол-в компонентов в Ац-лодочках в течение 3 дней (с периодич. перешихтовкой) при т-ре 1000° с послед. гомогенизирующим отжигом в запаянных Pt-трубках и закалкой. III получен впервые и устойчив в интервале 1000—1400° (при т-ре >1400° III разлагается с образованием Ba₃WO₆ и BaWO₄). Монокристаллы I выращены по Чохральскому в неконтролируемой атмосфере в Иг-тигелях с ВЧ-индукц. нагревом. Монокристаллы I (размером 0,1—0,2 мм) могут

X. 1974

№ 5

быть также получены при охлаждении расплава (т. пл. I равна $1600 \pm 20^\circ$) или из тв. фазы при т-ре $1400 - 1575^\circ$ (24 час.). Монокристаллы III размером ($0,1$ мм) получены в запаянных Pt-трубках при т-ре 1425° (24 час.). Найдено, что полученные при 1000° кубич. модификации I и II (тип перовскита, $a \sim 4,10$ Å) при нагревании выше 1300° необратимо переходят в новую гексагон. модификацию ($a = 5,8035 \pm 0,0004$, $c = 19,076 \pm 0,002$ Å — для I и $a = 5,8016 \pm 0,0003$, $c = 19,085 \pm 0,002$ Å — для II, ф. гр. Pb_3mc). Приведены значения I (изм.), I (выч.), d (изм.), d (выч.) и hkl рентгенограмм порошка I—III и параметров гексагон. ячеек III: $a = 5,7063 \pm 0,0003$, $c = 23,742 \pm 0,002$ Å, ф. гр. Pb_3mc . Приведены также позиции атомов в структуре I—III, использованные для определения I (выч.). Элементарные ячейки I—III содержат 8 (для I и II) или 10 (для III) слоев $[BaO]_3$ по направлению c (с плотнейшей упаковкой атомов Ba и O), среднее расстояние между c -рымами равно $2,35 - 2,40$ Å. Отмечена возможность получения фаз со структурой перовскита с общей c -осью $Ba_n(Nb_xW_yLi_z)O_{3n}$ (IV) (где $x+y+z=n$) в системе I—III с различным соотношением 8- и 10-слойных членов. Напр., при отношении 8- и 10-слойных членов 1:4 в т-рном интервале $1200 - 1400^\circ$ кристаллизуется кубич. фаза ($a = 8,185$ Å), состава $Ba_4(Nb_{1/2}Li_{3/2})W_2O_{12}$ с частичным упорядочением катионов W^{6+} по отношению к позициям, занятым $Nb^{5+} + Li^+$. Известны также IV с ромбоэдрич. искажением кубич. перовскита ($a = 4,098$ Å, $a = 89^\circ 52'$) состава $Ba(Nb_{1/3}W_{1/3}Li_{1/3})O_3$ и гексагон. IV ($a = 5,798$, $c = 7,129$ Å) состава $Ba(Nb_{12/21}W_{3/21}Li_{6/21})O_3$. Изучено также образование тетрагон. бронз типа $(Ba_{6-x}Li_x)[Nb_{0,5}Li_{0,5}]_{30}$ (V) ($x = \sim 0,3 - 1,4$) в системе $BaO - Nb_2O_5 - Li_2O$ и построено изотермическое сечение (1200°) этой системы, в к-рой указано существование след. фаз конечного состава: $Ba_4Li_2Nb_{10}O_{30}$ (VI), $BaNb_2O_6$, $Ba_5Nb_4O_{16}$ и $Ba_4Nb_5LiO_{12}$. Параметры элементарной ячейки V зависят от его состава и меняются в пределах $a = 12,504 - 12,585 \pm 0,001$, $c = 3,976 - 4,008 \pm 0,001$ Å. VI получен в поликрист. состоянии из соответствующих окислов при 1200° (10 дней) и в виде монокристаллов (размером < 1 мм) из расплава (т. пл. VI равна $\sim 1250^\circ$). Установлено, что VI не изоструктуриен.

V и имеет ромбич. ячейку с параметрами: $a = 10,197 \pm 0,001$, $b = 14,882 \pm 0,001$, $c = 7,942 \pm 0,001$ Å, ф. гр. $Pcmn$ или $Pc2/m$. Приведены значения I (изм.), d (изм.), d (выч.) и hkl рентгенограммы порошка VI. Обсуждены структуры I—VI и влияние на их устойчивость размера катионов, состава и температуры. С. С. Плоткин

BX-590

1973

Cs'Cl - Ballz, Lill-Ballz (P)

Сибирь. Н.З., Камчатка И.К.,

Кижакио В.Л., Хэгороакио В.Н.,

Дендромез. ГОК. 1973, БИЧУН 7764-73,

5 см.

Б.

Моллюски раковинные морские.

$\text{BaSiO}_3 - \text{Li}_{1.2}\text{SiO}_3$

1974

(1422)

 BaSi_2O_3

1597

oxide-silicon

Der

Ceram. Soc.

after isotherm

devitrification or glasses were detd. principally by x-ray powder diffraction. No ternary phases were found. The compns., phases present and temps. of 6 liquidus invariant points are given. Several of the ternary joins are binary systems. These systems and their eutectic temps. are: $\text{Li}_2\text{Si}_2\text{O}_5 - \text{Ba}_2\text{SiO}_5$ (943°), $\text{Li}_2\text{SiO}_3 - \text{BaSi}_2\text{O}_5$ (975°), $\text{Li}_2\text{SiO}_3 - \text{Ba}_2\text{Si}_2\text{O}_5$ (970°), $\text{Li}_2\text{SiO}_3 - \text{Ba}_2\text{Si}_2\text{O}_8$ (972°), and $\text{Li}_2\text{SiO}_3 - \text{BaSiO}_3$ (976°). Heats of fusion of the Ba silicates are calcd. from the liquidus curves of the binary joins.

C.A. 1974. 8N24

1974

$Ba_x Li_{5-2x} Nb_5 O_{15}$

112165m Crystallographic, dielectric, and nonlinear optical properties of some new phases with $Ba_x Li_{5-2x} Nb_{5(1-y)} Ta_y O_{15}$ composition and tetragonal tungsten oxygen bronze structure. Ravez, Jean; Perron, Annie; Chaminade, Jean P.; Hagemuller, Paul; Rivoallan, Loïc (Serv. Chim. Miner. Struct., Univ. Bordeaux I, Talence, Fr.). *J. Solid State Chem.* 1974, 10(3), 274-81 (Fr). Two series of phases with tetragonal bronze-like structure and compn. $Ba_x Li_{5-2x} T_x O_{15}$ ($T = Nb, Ta$) have been isolated in the systems $BaNb_2O_6$ - $LiNbO_3$ and $BaTa_2O_6$ - $LiTaO_3$. All these phases show ferroelec.-paraelec. transitions. The Curie temp. increases with the Li content. The value of T_c for $Ba_{2.03} Li_{0.94} Nb_5 O_{15}$ is the highest ever obsd. for this type of structure: the obtained phases are potentially good materials for the harmonic generation of 0.53- μm radiation. The optical yield of the niobate $Ba_{2.14} Li_{0.71} Nb_5 O_{15}$ is ~ 2.5 times that of $Ba_2 NaNb_5 O_{15}$ and 250 times that of the $KH_2 PO_4$. The crystallog. and dielec. data of the system $Ba_{2.14} Li_{0.71} Nb_5 O_{15}$ - $Ba_{2.14} Li_{0.71} Ta_5 O_{15}$ characterize 3 domains, which are resp. antiferroelec., ferroelec., and paraelec. The Curie temp. and the optical yield decrease with increasing Ta content.

(Tt²)

P.A. 1974. 81
N18



$3\text{BaTiO}_3 \cdot \text{Li}_2\text{TiO}_3 \cdot 6\text{TiO}_2$ (Tm) X 8667 1974

Negas T., Roth R.S., Parker H.S.,
Minor D.

J. Solid State Chem., 1974, 9, N3, 297-307 (with)
Subsolidus phase relations in the
 $\text{BaTiO}_3\text{-TiO}_2$ system. L.E.T.B Q.K.

PHYSICS, 1974

1761036

O

5 (P)

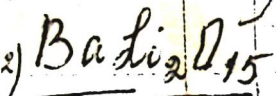
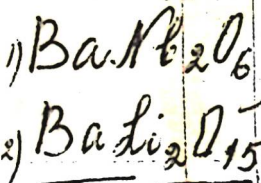
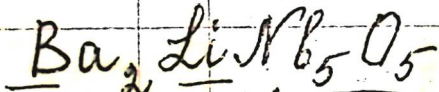
BaxLi_{2-x}Nb₅O₁₅ X 1974.
BaxLi_{2-x}Ta₅O₁₅ (Tz). X8758

Laveez Y., Perron A., Chaminade J.P.,
Hagenmüller P., Rivoallan L.,
Y. Solid State Chem., 1974, 10(3),
274-81.

Crystallographic, dielectric, and non-
linear optical properties of some new
(see. на супр.)

C.A. 1974, 81 N 18. 112165m 6 5 CP

1975



(T_m)

(+)



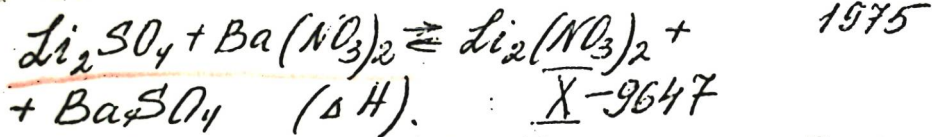
x 1975 N 19

19 Б887. Фазовое изучение системы Li_2O — BaO — Nb_2O_5 в отношении к проблеме выращивания монокристаллов $\text{Ba}_2\text{LiNb}_5\text{O}_{15}$ методом Чохральского. К гä-
тер V., Matthes H., Marshall A. Phase studies of
the system Li_2O — BaO — Nb_2O_5 in relation to Czochralski

growth problems of $\text{Ba}_2\text{LiNb}_5\text{O}_{15}$ single crystals. «J. Mater. Sci.», 1975, 10, № 4, 547—550 (англ.)

Разрезы LiNbO_3 (I)— BaNb_2O_5 (II) и Li_3NbO_4 (III)—II-системы $\text{Li}_2\text{O}-\text{BaO}-\text{Nb}_2\text{O}_5$ (IV) изучены методами рентгенофазового анализа и ДТА с целью определения условий выращивания монокристаллов $\text{Ba}_2\text{Li}_5\text{O}_{15}$ (V) методом Чохральского. Образцы получены спеканием смесей I, IV, BaCO_3 и Li_2CO_3 при 1550° . В системе I—II фазы I и V присутствуют в области системы до 62 мол. % II, при более высокой конц-ии II появляются гексагон. фаза II. При 80 мол. % II фаза V плавится инконгруэнтно при 1395° с образованием расплава, и II; фаза II плавится инконгруэнтно при 1395° и 95 мол. % II. В системе III—II установлена эвтектика при 1105° и 47,5 мол. % II; фаза V с тетрагон. решеткой типа W-бронзы занимает область составов 90—92,5 мол. % II и плавится инконгруэнтно при 1365° ; параметры решетки фазы V a 12,509; c 3,998 Å. Показано, что более предпочтительной для выращивания монокристаллов V является система III—II.

Л. В. Шведова



Мабригисе Р. Т., Күншисбекова Б. Н.,
Физ. журн. исследов. геохим. работ
СО СССР, 1975, 41-5. (Ред. Капарисова
Б. Т., Уркунтас)

Система Li, Ba // NO₃, SO₄.

6

?

M

C.A. 1976. 84 n10. 65783m.

1975

Lill-Ball

20 Б943 Деп. Тензиметрическое исследование расплавленных смесей LaCl_3 — BaCl_2 . Смирнов М. В., Кудяков В. Я., Халтурин Л. К., Худоложкин В. Н. Ин-т электрохимии Уральск. науч. центра АН СССР). Свердловск, 1975. 8 с., ил., библиогр. 12 назв. (Рукопись деп. в ВИНИТИ 26 июня 1975 г., № 1918—75 Деп.).

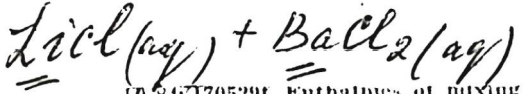
(K_p)

Методом потока в интервале т-р 828—1087° определена летучесть компонентов в расплавленных солевых смесях хлоридов лантана и бария. Летучесть компонентов отождествлена с их парц. давл. насыщ. паров, при этом предположено, что в паровой фазе хлориды бария и лантана присутствуют, в основном, в виде мономеров. Эксперим. данные описываются ур-нием $\lg P_{\text{мм}} = A - B/T$; значения постоянных A и B равны 10,98 и 16 580; 12,17 и 17 537; 11,62 и 16 250 для расплавленных смесей с содержанием 35,0; 50,0 и 87,5 мол. % LaCl_3 соотв. Рассчитаны коэф. активности хлоридов лантана и бария в расплавленных смесях. Сделан вывод о том, что в системе LaCl_3 — BaCl_2 наблюдается взаимодействие компонентов, приводящее к образованию комплексных группировок, причем трехвалентный лантан выступает в кач-ве комплексообразователя.

Автореферат

X. 1975

N 20



1976

84:T70529f Enthalpies of mixing of aqueous solutions of lithium chloride and barium chloride at 25°C. Deryabina, I. D.; Polukhina, A. A. (Mosk. Tekhnol. Inst., Moscow, USSR). Izv. Vyssh. Uchebn. Zaved., Khim. Khim. Tekhnol. 1976, 19(1), 166 (Russ). The exptl. enthalpy of mixing data for a wide range of concns. were compared with theor. conclusions on the heat of redistribution of H₂O based on the Zdanovsk rule, and it was concluded that complex formation did not occur.

C. E. Stevenson

(ΔH_{mix})

C.A. 1976 84 n24

BX-1493

1977

BaFCl, K₂Ball₄, LiBaF₄ (T_m)
Бухарова Р.А., Нурсултанова Н.Н., Гайдыб-
аев Е.С.,

Уф. Себ.-Кавк. Научн. Ученая Пресса.
Изд., СРСР. Ученые записки 1977, 5(1), 58-60
исследование Li, Na, K, Ba II F, Cl синтез...

C.A. 1978, 88, N 14, 955345

Б (cp)

BX - 1160

1977

KCl + Call₂, ~~LiCl + BaCl₂,~~
Call₂ + BaCl₂ (A.Rank)

Дерябина Л.Ю., Згаревская Н.Б.,
Конюхова А.А.,
М.х.-хим. журн. 1977, 51(10), 2662-3.

Изучение взаимодействия
солей синтетического
и природного KCl + Call₂ + H₂O и ...
С.А. 1978, 88, N 4, 285662. M (9)

1974

LiCl - BaCl₂

22 Б826 Деп. Состав паровой фазы и термодинамические функции хлоридов лития и цезия в расплавленных смесях $\text{LiCl}-\text{BaCl}_2$, $\text{CsCl}-\text{BaCl}_2$, $\text{LiCl}-\text{LaCl}_3$, $\text{CsCl}-\text{LaCl}_3$. Халтурин Л. К., Смирнов М. В., Кудяков В. Я. Ин-т электрохимии Уральск. науч. центра АН СССР. Свердловск, 1977. 9 с., библиогр. 10 назв. (Рукопись деп. в ВИНИТИ 14 июля 1977 г., № 2871-77 Деп.)

На основании эксперим. данных по давлениям насыщ. паров и их хим. составу рассчитаны парциальные давления компонентов, присутствующих в паре над расплавами $\text{LiCl}-\text{BaCl}_2$ (P_{LiCl} , $P_{\text{Li}_2\text{Cl}_2}$, P_{LIBaCl_3}), $\text{CsCl}-\text{BaCl}_2$ (P_{CsCl} , $P_{\text{Cs}_2\text{Cl}_2}$, P_{CsBaCl_3}), $\text{LiCl}-\text{LaCl}_3$ (P_{LiCl} , $P_{\text{Li}_2\text{Cl}_2}$, P_{LILaCl_4}) и $\text{CsCl}-\text{LaCl}_3$ (P_{CsCl} , $P_{\text{Cs}_2\text{Cl}_2}$, P_{CsLaCl_4}). Конц-ия хлорида лития и цезия менялась от 50 до 100 мол.%, т-ра — от 1023 до 1223° К. Оценены активности и коэф. активности, термодинамич. функции хлоридов лития и цезия, характеризующие их смешение

Состав
пара,
Р науч
рассл.

(43)

X. 1974 N 22

с хлоридами бария или лантана. Они свидетельствуют об отриц. отклонениях этих расплавов от идеального поведения, обусловленных комплексообразованием. В кач-ве комплексообразователей выступают катионы бария или лантана, имеющие большой ионный момент. Отриц. отклонения в системах возрастают по мере увеличения разности ионных моментов катионов смеси.

Автореферат

но
овле

БД-1527

1978

LiBr - CaBr₂ - BaBr₂

липкокомпактные (специальные)

Уральск У.И., Указание К.И.,
Усп. хим. аэ. (пер. изг.) 1978,
44(4), 355-7.

Физико-хим.
свойства

C.A. 1978, 89, N 14, 118500d

разложение
Li, Cs, Ba Br₂.

5 (c)

1980

Ball + LiClaq ✓

9. 48498b Role of the heat of redistribution of water in
the thermal effect of the mixing of barium chloride
aqueous solutions with solutions of S-element chlorides.
Deryabina, L. D.; Zdanovskii, A. B.; Polukhina, A. A.;
Kharkitova, I. M. (Mosk. Tekhnol. Inst., Moscow, USSR).
Khim. Tekhnol. Vody 1980, 2(6), 511-13 (Russ.). The heats of
mixing of aq. BaCl₂ with aq. NaCl, LiCl, CaCl₂, or MgCl₂ were
measured at 25°. The amt. of BaCl₂ was kept const. (0.36 m).
The results were analyzed in order to prove that the heat of
mixing of mixed solns. is a complex factor, influenced by the
aq of ions affects their interaction and the structure of the soln.
changes.

(ΔH_{mix})

(+2)

C.A. 1981.94846

1980

Pb_{2-x}Ba_xLi_{0,5}Nb_{1,5}O₆

? Pb_{1,5}O₆

11 E168. Тепловое расширение керамической системы Pb_{2-x}Ba_xLi_{0,5}Nb_{1,5}O₆. Thermal expansion of the ceramic system Pb_{2-x}Ba_xLi_{0,5}Nb_{1,5}O₆. Rajan R., Kharde R. K. «Indian J. Pure and Appl. Phys.», 1980, 18, № 10, 809—810 (англ.)

тепловое
расширение
Ф. 1981 № 11 E(18)

LiBaF₃

1982

13 Б863. Плавкость солевых смесей, содержащих фториды лития, бария и лантана. Агулянский А.И., Бессонова В.А. «Ж. неорганической химии», 1982, 27, № 4, 1029—1032

Методом ДТА в инертной среде с применением двухкоординатного потенциометра в кач-ве регистратора изучена плавкость бинарной системы LiF—BaF₂. В системе обнаружено инконгруэнтно плавящееся хим. соединение LiBaF₃. Изучена плавкость низкотермической части бинарной системы LiF—LaF₃ и лучевого разреза тройной системы Li, Ba, La/F.

Резюме

Х. 1982, 19, N 13.

Li₂BaP₂O₇

1983

| 22 Б439. Li₂BaP₂O₇: выращивание монокристаллов,
метрика и пространственная группа. Li₂BaP₂O₇: Einkri-
stallzüchtung, Metrik und Raumgruppe. Liebertz J.,
Stährl S. «Z. Kristallogr.», 1983, 162, № 1—4: 23 Dis-
kussionstag., Tübingen, 7—10 März, 1983, 313—314
(нем.)

Методом Чохральского в Pt-тигле получены плавя-
щиеся конгруэнтно при 1110 К бесцветные кристаллы
Li₂BaP₂O₇. Кристаллы двуосны, положительны, от-
носятся к ромбич. сингонии с параметрами решетки: *a*
7,078, *b* 12,164, *c* 13,856 Å, *Z* 8, *ρ* (изм.) 3,62, *ρ* (выч.)
3,62. Ф. гр. Стст подтверждена отсутствием пьезо-
эффекта и генерации 2 гармоники. М. Б. Варфоломеев

*параметры
решётки*

X. 1983, 19, N22.

$Ba_4Li_2Nb_{10}O_{30}$

1983

99: 97103r Low-temperature phase transitions in barium lithium niobate ($Ba_4Li_2Nb_{10}O_{30}$) crystals. Turik, A. V.; Sidorenko, E. N.; Kryshtop, V. G.; Kazaryan, L. M. (Rostov. Gos. Univ., Rostov, USSR). *Fiz. Tverd. Tela (Leningrad)* 1983, 25(7), 2198-200 (Russ). Dielec.-const. and x-ray structural studies showed the existence of ferroelastic phase transitions in $Ba_4Li_2Nb_{10}O_{30}$ at 175, 245, and 255 K.

(T_{tr})

c.A. 1983, 99, N 12

4. BaB₂O₄ · BaO · BaO₂

и гр.

Tm;

1984

14 Б3098. Равновесные фазовые соотношения в тройной системе BaO—Li₂O—B₂O₃ по сечениям BaB₂O₄—Li₂B₂O₄ и BaB₂O₄—Li₂O. Hu ang Qing-zhen, Wang Guo-fu, Liang Jing-ku i. «Ули сюэбао, Acta phys. Sin.», 1984, 33, № 1, 76—85 (кит.; рез. англ.)

С помощью дифрактометрии и термич. анализа исследованы фазовые соотношения в системе BaO—Li₂O (I)—B₂O₃ по разрезам BaB₂O₄ (II) — Li₂B₂O₄ (III) и II—I. В системе II—III установлено новое соединение 4 II·III, к-рое образуется по перитектич. р-ции при $930 \pm 3^\circ\text{C}$; эвтектика между 4II·III и III — при 79 мол. % III и т. пл. $797 \pm 3^\circ\text{C}$. В системе II—I также образуется соединение 4II·III, но т-ра перитектики понижается до $908 \pm 3^\circ\text{C}$ с увеличением конц-ии I. Другое новое соединение 2II·3I образуется по перитектич. р-ции при $630 \pm 3^\circ\text{C}$. Эвтектика между 2II·3I и I имеет т. пл. $400 \pm 3^\circ\text{C}$. Не обнаружено тв. р-ров в системах II—III и I—II. 4II·III обладает параметрами решетки a 13,033; b 14,630; c 4,247 Å; $Pm\bar{3}a$; $Z=2$, 2III·3I — a 4,814; b 9,897; c 11,523 Å; $Pn\bar{3}m$; $Z=2$.

Резюме

Х. 1984, 19, № 14

4 Babaly · Liz. Babaly

1986

105: 67450b Modification-to the sub-regular solution model in
the thermodynamic analysis of binary equilibrium diagrams.
Zhan, Jiyu (Cent. China Teach. Coll., Wuhan, Peop. Rep. China).
Kexue Tongbao (Foreign Lang. Ed.) 1986, 31(9), 593-6 (Eng).
The Hardy (1953) sub-regular soln. model is modified by assuming
that $\Delta A = B_0 + \Sigma(B_i/(T_{fa}-T)^i + B'_i/(T_{fb}-T)^i)$ (limits $i = 1$ to n)
where $\Delta A = (A_2-A_1)$, A_2, A_1 are consts. independent of compn., T is
temp., T_{fa} , T_{fb} are m.ps. of components a and b, and B_0 , B_i , B'_i are
consts. independent of compn. and temp. Data for the Al-Ga, Ti-Zr,
and Hf-Ta systems can be fitted by using this modification.

(T_m)

C.A. 1986, 105, N8

Li/Ba
enables

1987

108: 27220g Density, compressibility, heat capacity and surface tension of liquid lithium/barium alloys. Saar, J.; Ruppersberg, H. (FB Ingenieurwiss., Univ. Saarlandes, D-6600 Saarbruecken, Fed. Rep. Ger.). *Phys. Chem. Liq.* 1987, 17(1), 45-53 (Eng). The densities ρ , compressibilities χ_s and surface tensions Γ of liq. Li/Ba alloys were measured at various compns. as functions of the temp. The heat capacities C_p were detd. at 400 K. The variations of the molar vol. V and of Γ with compn. c were almost linear. $\chi_r(c)$ And $\chi_s(c)$ are S-shaped; $C_p(c)$ and $C_v(c)$ have pos. excess values.

C_p ;

C.A. 1988, 108, N.Y

LiCl-BaCl₂-SrCl₂

1987

107: 65574n Measurement and calculation of the phase diagram of the lithium chloride-barium chloride-strontium chloride system. Qiao, Zhiyu; Sangster, James; Pelton, Arthur D. (Beijing Univ. Iron Steel Technol., Beijing, Peop. Rep. China). CALPHAD Comput. Coupling Phase Diagrams Thermachem. 1987, 11, 277-86 (Eng). The liquidus surface of the ternary LiCl-BaCl₂-SrCl₂ system was measured by a DTA technique. A complete literature assessment and coupled thermodyn./phase diagram analysis of the 3 binary sub-systems was performed. The ternary phase diagram was calcd. from the assessed binary thermodyn. properties. Agreement between the calcd. and measured ternary liquidus surfaces is excellent. The estd. accuracy of the calcd. diagrams is $\pm 5^\circ$ for the binaries and $\pm 10^\circ$ for the ternary.

(page 8: group)

C.A. 1987, 107, n8

LiBaPO_4 Flammarie L., 1988
Elouadi B., et al,

(Ter, $\text{PbO}_3 \cdot \text{NaPEOg}$) Phase Transitions 1988,
13 (1-4), 29-32.

Study of phase transitions
in....

C.A. 1989, 110, N/2, 105454cc.

1988

Li_2BaO_3

Li_4Ba_3

(T_m)

20 Б3089. Бериллаты лития и их термодинамические свойства. Куранов К. В., Атанов А. И., Саунин Е. И., Громов В. В., Захаров М. А. «7 Всес. конф. по химии и технол. редк. щелоч. элементов. Тез. докл.» Апатиты, 1988, 53

Методами ДТА, РФА и высокот-рной масс-спектрометрии исследована система Li_2O (I) — BeO (II) в интервале составов 80—25 % II, уточнены значение т. пл. $\text{Li}_2\text{Ba}_2\text{O}_3$ и положение инвариантной точки диаграммы для обл. 66,6—100 мол.% II. Подтверждено существование конгруэнтно плавящегося соединения Li_4BeO_3 . Предложена диаграмма состояния системы I-II. Изучен механизм образования соединений в системе и взаимодействие указанных соединений с H_2O и CO_2 . В результате масс-спектрометрич. исследования испарения соединений системы I-II получены данные по составу пара и т-рной зависимости давл. пара, определены энтальпии испарения.

По резюме

X. 1988, 19, № 20

Cuccu

(OM-28697)

1988

his D₃-Ball₃

Mills R.E., Coyle R.T.,

gas. passob.
gas. repress¹¹ 1988, 124, 65-77.

Ba₂LiB₅O₁₀

1989

20 Б2014. Пентaborат $Ba_2LiB_5O_{10}$. The pentaborate $Ba_2LiB_5O_{10}$ / Smith R. W., Keszler D. A. // Mater. Res. Bull.— 1989.— 24, № 6.— С. 725—731.— Англ.

Методом РСТА (2373 отражения, R 0,021, R_w 0,042) изучено строение $Ba_2LiB_5O_{10}$, образующегося из р-ра $BaCuB_2O_5$ в расплаве $LiBO_2$. Монокл. кристаллы имеют a 4,414, b 14,576, c 6,697 Å, β 104,26°, Z 2, ф. гр. $P2_1/m$. В структуре реализуются одномерные, тянувшиеся вдоль [100] анионы $[B_5O_{10}]^{\infty 1^{5-}}$, образованные неэквивалентными треугольными группами BO_3 ($B-O$ 1,330—1,411 Å), разделенными тетраэдрами BO_4 ($B-O$ 1,460—1,488 Å). Цепочки связаны атомами Li и Ba, имеющими соотв. тетраэдрич. и восьмерную координацию ($Li-O$ 1,856—1,939, $Ba-O$ 2,644—3,020 Å). Методом ДТА установлена т. пл. 930° С. Указано на аналогию полученной ранее (Huang Q. X. et al. // Acta phys. sinica — 1984, 33.— С. 76) и описанной в настоящей работе фаз, однако ромбич. симметрия решетки, определенная в цитируемой работе, не подтверждена.

М. Б. Варфоломеев

X. 1989, № 20

(Om. 35396)

1991

$\text{LaBa}_2\text{Li}_{3-y}\text{MyO}_x$ Monir A.C.,
(M = Li, Ni; y = 0, 0.1) Mirza E.B. et al.

Thermochim. Acta. 1991, 180,
191-197

Thermogravimetric and
Dilatometric Studies of

$\text{LaBa}_2\text{Cu}_{3-y}\text{MyO}_x$ ($M=\text{Ni},$
 $\text{Li}; \quad y=0, \quad 0.1$)

LiBaAlF₆

1993

(T_M, T_{d2}, α/β)

119, 211620c The phase relations in the quasi-binary system lithium trifluoroborate-aluminum trifluoride: a search for new fluoride laser hosts. Al Mansour, M.; Wallrafen, F. (Mineral. Petrol. Inst., Univ. Bonn, Germany). *Cryst. Res. Technol.* 1993, 28(5), 70-10 (Eng). In a search for new fluoride laser host materials (esp. with an Al site for Cr³⁺ doping) the phase relations in the join LiBaF₃-AlF₃ of the ternary concn. diagram LiF-BaF₂-AlF₃ were studied by difference thermal anal. method from 15 samples with different compns. A new congruently melting compd. LiBaAlF₆ ($T_m = 785^\circ C$) was found. The α/β phase transformation at 671° prevents the growth of β -LiBaAlF₆ single crystals from the own melt and the application to laser technol.

C.A. 1993, 119, N 20

BaF_2 -LiF-ZrF₄

1993

120: 332504k Calorimetric determination of the enthalpies of formation of BaF₂-MF-ZrF₄ liquid ternary mixtures. Part 2. M is Li, K. Hatem, G.; Mahmoud, K.; Gaune-Escard (Inst. Univ. Syst. Therm. Ind., CNRS, 13397 Marseille, Fr.). *Thermochim. Acta* 1993, 230, 15-28 (Eng). The enthalpies of formation of liq.

BaF₂-KF-ZrF₄ and BaF₂-LiF-ZrF₄ ternary mixts. were measured calorimetrically at 1173 K. The mixing procedures used, the "direct drop" or "indirect drop" methods, were selected in accordance with the physicochem. properties of the systems. The results are compared with those previously obtained for the liq. BaF₂-NaF-ZrF₄ ternary system. For all these systems, the heats of mixing are strongly exothermic. The results are analyzed in terms of formation of complex ions in the liq. mixts.

(Δ_fH)

⑦ ☐

BaF_2 -KF-ZrF₄

C.A. 1994, 120, N 26

1995

LiBaB₃
LiBaB₃S₆

12 Б215. LiBaBS₃, и LiBaB₃S₆ два новых четверных тио-
бората с треугольно-планарно координированным бо-
ром. LiBaBS₃ und LiBaB₃S₆: Zwei neue quaternäre Thiobo-
rate mit trigonal-planar koordiniertem Bor / Hiltmann F.,
Krebs B. // Z. anorg. und allg. Chem. — 1995. — 621
№ 3. — С. 424—430. — Нем.; рез. англ.

Бесцветные пластинчатой формы монокристаллы LiBaBS₃
(I) и LiBaB₃S₆ (II) получены: I — приготовлением смеси
Li₂S, BaS, B и S в мольном соотношении 1:2:2:3, нагре-
ванием до 750 °C и выдерживанием 19 ч с последую-
щим охлаждением до 500 °C со скоростью 25 °C/ч, а
затем до комнатной температуры за 4 ч; II — приго-
товлением смеси Li₂S, BaS, B и S в мольном соотноше-
нии 1:2:6:9, нагреванием до 750 °C, выдерживанием 3 ч
при этой температуре, после чего смесь выдерживали
при 650 °C 17 ч и охлаждали до 500 °C со скоростью
25 °C/ч, а затем до комнатной температуры за 4 ч.
Проведен РСТА монокристаллов I и II (λMo. I). — 963:

Структура

X. 1995, N 12

отражения, $R = 0,025$, моноклинная решетка, ф. гр. $P2_1/c$, $Z = 4$, $a = 7,577$, $b = 8,713$, $c = 8,687$ Å, $\beta = 116,22^\circ$; II — 994 отражения, $R = 0,025$, моноклинная решетка, ф. гр. Cc , $Z = 4$, $a = 15,116$, $b = 8,824$, $c = 8,179$ Å, $\beta = 117,46^\circ$). В структуре I имеются изолированные плоские анионы $[BS_3]^{3-}$, межатомные расстояния B—S лежат в пределах 1,818—1,830 Å, а углы SBS лежат в пределах $117,4^\circ$ — $122,0^\circ$. В структуре II имеются анионы $[B_3S_6]^{3-}$, состоящие из шестичленных колец B_3S_3 с тремя атомами S, лежащими вне колец. Для II межатомные расстояния B—S лежат в пределах 1,767—1,831 Å, а углы SBS лежат в пределах $114,8^\circ$ — $126,3^\circ$. Катионы располагаются в структурах I и II между анионами, Va имеет КЧ 9, а Li — 5 для I и 4 для II.

В. П. Сиротинкин

Yallz-BaCl₂-LiCl

1995

124: 99112b Investigation on phase diagram of ternary system LaCl₃-BaCl₂-LiCl. Zheng, C. G.; Chen, Y. P.; Zhang, L. P. (Dep. Chem., Beijing Univ., Beijing, Peop. Rep. China). Report 1994, (ISTIC-TR-94423; Order No. PB95-247854GAR), 7 pp. (Eng). Avail. NTIS. From Gov. Rep. Announce. Index (U. S.) 1995, 95(21), Abstr. No. 21-02,275. Up to now the phase diagram of the ternary system LaCl₃-BaCl₂-LiCl has not been reported in literature. On the basis of the investigation on the related binary systems, the phase diagram of the ternary system LaCl₃-BaCl₂-LiCl was detd. Five polythermal sections were detd. in this work.

phys. group.

C. A. 1996, 124, N 8

$Ba_{1-x}Li_xBiO_3-\delta$

1996

$x=0-0.7$

(C_p)

126: 35605y Anomalous specific heat and other properties of amorphous $Ba_{1-x}Li_xBiO_3-\delta$ ($x = 0-0.7$) oxides around semiconductor-metal-semiconductor like transition. Banerjee, G.; Sadhukhan, M.; Bera, A. K.; Karar, M.; Chaudhuri, B. K. (Solid State Physics Dep., Indian Assn. Cultivation Sci., Calcutta, 700032 India). *J. Mater. Sci. Lett.* 1996, 15(22), 2008-2011 (Eng), Chapman & Hall. Barium lithium bismuthate glasses were prepd. by quick quenching. The IR spectra, d., elec. cond., dielec. const., heat capacity and glass transition temps. of the glasses were detd. A decrease in elec. cond. with increasing temp. was obsd. around a temp. assocd. with the glass compn. Temp.-dependent heat capacity data indicate sharp peaks around the same temp. at which d.c. cond. and dielec. const. also indicate nonlinear behavior.

C.A. 1997, 126, N 3

1997

F: LiF-BaF₂-AlF₃

P: 1

10Б361. Квазибинарные разрезы тройной системы LiF-BaF[2]-AlF[3] / Латыпов З. М., Фицева Р. Г., Чекунков В. В. // еорган. матер. [бывш. Изв. А СССР. еорган. матер.]. - 1997. - 33, 9. - С. 1147-1148. - Рус.

Методами ДТА и РФА исследовано взаимодействие по квазибинарным разрезам $3\text{LiF}\cdot\text{AlF}[3]\text{-BaF}[2]$ и $3\text{LiF}\cdot\text{AlF}[3]\text{-}3\text{BaF}[2]\cdot2\text{AlF}[3]$ тройной системы LiF-BaF[2]-AlF[3]. Приведены составы и температуры эвтектик. Составы получены как путем расчета, так и экспериментально.

1999

F: Li₂O-BaO-B₂O₃

P: 1

131:190306 Thermodynamic calculation of the Li₂O-BaO-B₂O₃ pseudo-ternary diagram. Yu, Hao; Liu, Hua Shan; Jin, Zhan Peng (Department Materials Sci Engineering, Central South Univ. Technology, Changsha 410083, Peop. Rep. Z. Metallkd., 90(7), 499-504 (English) By employing the CALPHAD technique, the phase diagram of the Li₂O-BaO-B₂ system was thermodynamically calcd. based on well-defined Li₂O-B₂O₃

and B binary systems, as well as available information on the ternary system. Optimization of BaB₂O₄-Li₂B₂O₄ and BaB₂O₄-Li₂O vertical sections, the interaction parameters of liq. in the Li₂O-BaO systems were estd. and the diagram is thus presented. Meanwhile, the Gibbs energies of the ternary compds., LiBaB₉O₁₅, LiBa₂B₅O₁₀, and Li₆Ba₂B₄O₁₁, were approx. evaluated. liquidus projection of the phase diagram was calcd. and the primary field each phase, esp. β -BaB₂O₄ was predicted. The liq. immiscibility in vicinity of B₂O₃ was also calcd

1999

F: Li₂O-BaO-B₂O₃

P: 1

131:190306 Thermodynamic calculation of the Li₂O-BaO-B₂O₃ pseudo-ternary diagram. Yu, Hao; Liu, Hua Shan; Jin, Zhan Peng (Department Materials Sci Engineering, Central South Univ. Technology, Changsha 410083, Peop. Rep. Z. Metallkd., 90(7), 499-504 (English) 1999 By employing the CALPHAD technique, the phase diagram of the Li₂O-BaO-B₂ system was thermodynamically calcd. based on well-defined Li₂O-B₂O₃ and B binary systems, as well as available

information on the ternary system. Optimization of BaB₂O₄-Li₂B₂O₄ and BaB₂O₄-Li₂O vertical sections, the interaction parameters of liq. in the Li₂O-BaO systems were estd. and the diagram is thus presented. Meanwhile, the Gibbs energies of the ternary compds., LiBaB₉O₁₅, LiBa₂B₅O₁₀, and Li₆Ba₂B₄O₁₁, were approx. evaluated. liquidus projection of the phase diagram was calcd. and the primary field each phase, esp. β -BaB₂O₄ was predicted. The liq. immiscibility in vicinity of B₂O₃ was also calcd.

$\Sigma; BO_2$

1999

F: Li₂O-B₂O₃

P: 1

$LiBO_2 (T_m)$

02.04-19Б3.40д. Исследование фазовых равновесий в бинарных щелочно-боратн системах. канд. физ.-мат. наук / Мешалкин А. Б. - Ин-т теплофиз. СО РАН, Новосибирск, 1999. - 19 с. : ил. - Рус.

С помощью созданных в Институте теплофизики СО РАН вибрационных методов (вибрационная вискозиметрия) и вибрационный метод фазового анализа провед комплексные систематич. исследования фазовых равновесий в двойных щелочно-боратных системах: Li₂O-B₂O₃; Na₂O-B₂O₃; K₂O-B₂O₃; Rb₂O-B₂O₃; Cs₂O-B₂O₃. Получены новые, надежные и систематичес эксперим. данные о температурах фазовых равновесий более чем на 200 соста двойных системах оксида бора с оксидами лития, натрия, калия, рубидия и ц а также модельной системы оксид висмута - оксид германия и систем трибора лития - оксид бора - фторид лития и триборат лития - триборат цезия. Отработана

методика исследования фазовых равновесий в высоковязких оксидных системах, склонных к сильному переохлаждению и стеклованию. Уточнен характер плавления некоторых соединений в изученных фазовых диаграммах (напр., установлено, что $\text{Cs}_2\text{O} \cdot 2\text{Li}_2\text{O}$ -плавится конгруэнтно). Установлено существование на фазовых диаграммах неизвестных ранее соединений $2\text{Li}_2\text{O} \cdot 3\text{B}_2\text{O}_3$, $2\text{K}_2\text{O} \cdot 3\text{B}_2\text{O}_3$, $2\text{Rb}_2\text{O} \cdot 3\text{B}_2\text{O}_3$, $2\text{Cs}_2\text{O} \cdot 3\text{B}_2\text{O}_3$ и подтверждено существование на фазовых диаграммах соединений $2\text{K}_2\text{O} \cdot 5\text{B}_2\text{O}_3$ и $2\text{Rb}_2\text{O} \cdot 5\text{B}_2\text{O}_3$. Впервые установлено, что соединения $\text{Rb}_2\text{O} \cdot 2\text{B}_2\text{O}_3$ и $\text{Rb}_2\text{O} \cdot 3\text{B}_2\text{O}_3$ имеют по точки конгруэнтного плавления, соответствующие плавлению 'альфа'- и 'бета'-фаз. Проведен анализ применимости различных моделей раствора к определению экспериментальных данных о температуре ликвидуса и установлено, что удовлетворительно описание ликвидуса большинства соединений, существующих в этих системах, получить в рамках модели субрегулярного раствора. Рассчитана степень диссоциации в точке плавления имеющихся в изученных системах конгруэнтно плавящихся соединений. Показано, что при одинаковых условиях проведения охлаждение относительно температуры плавления соединения до начала кристаллизации возрастает с увеличением степени диссоциации соединения. Б 12.

BaLiGe₂

2002

F: BaLiGe₂ (T_{tr})

P: \overline{I}

03.02-19Б3.90. Новая фаза Цинтля, синтезированная путем термического разложения. A new Zintl phase synthesized via thermal decomposition / Xie Qinxing, Worle Michael, Nesper Reinhard // Chimia. - 2002. - 56, N 7-8. 405. -

Англ.

Новая фаза Цинтля BaLiGe[2] синтезирована посредством термического разлож BaMg[2]Li[2]Ge[2] в высоком вакууме. Структура новой фазы относится к пространственной группе Pnma. Показано, что BaLiGe[2] кристаллизуется в слоистую структуру с плоскими анионами Цинтля. Анион Цинтля является одномерной цепью с полностью цис-конформацией. Определена кристаллическая структура BaLiGe[2]. Библ. 2.

Li₂BAlO₄

1999

F: Li₂BAlO₄

P: 1

02.05-19Б2.67. Кристаллическая структура и колебательные спектры Li[2]BA1O₄, Crystal structure and vibrational spectra of Li[2]BA1O[4] / Pscharis V., Kapoutsis I. A., Chryssikos G. D. // J. Solid State Chem. - 1999. - 142, - С. 214-219. - Англ.

Порошок Li[2]BA1O[4] синтезирован твердофазной реакцией Li[2]CO[3], B[2]O Al[2]O[3] при 600рС на протяжении 2 месяцев. Структура решена порошковым (моноклинная сингония, ф. гр. P2[1]/c, а 6.2720(3), b 5.0701(3), c 10.298 Å, 'бета' 95.882(2)р, Z 4, 'ро'(выч.) 2.36. Структура содержит бесконечны цепи метаалюминатных тетраэдров, соединенных метаборатными треугольниками образованием колец [B[2]Al[2]O[8]]{4-}. Сняты спектры ИК и комбинационног рассеяния. —